

Abstract

El ARN mensajero (ARNm) ha sido concebido tradicionalmente como un intermediario molecular en la síntesis proteica. Sin embargo, al considerar su arquitectura polianiónica, su geometría secundaria y su interacción con campos electromagnéticos, puede interpretarse también como una estructura resonante capaz de modular acoplamientos bioelectromagnéticos. La introducción de ARNm sintético en organismos humanos, con nucleósidos modificados y longitudes no habituales, abre la posibilidad de que actúe como un driver resonante, es decir, como un componente de interfaz entre la bioinformática endógena y el entorno electromagnético planetario.

Este artículo explora de manera técnico-especulativa cómo el ARNm podría comportarse como middleware resonante, generando nuevas condiciones de acoplamiento entre sistemas biológicos y radiaciones externas, desde microondas de telecomunicaciones hasta pulsos solares y campos de baja frecuencia como las resonancias Schumann. Se examinan las diferencias estructurales entre ARNm endógeno y sintético, sus posibles modos vibracionales y las consecuencias en sistemas neurocognitivos, inmunológicos y colectivos. Finalmente, se plantea la hipótesis de que la diseminación masiva de ARNm sintético podría estar configurando un metacuerpo resonante humano, capaz de responder de forma coherente a perturbaciones electromagnéticas globales.

Palabras clave ARNm sintético-Resonancia bioelectromagnética-Antenas moleculares-Middleware biológico-Neurocognición resonante-Inmunología electromagnética-Interfase bioinformática-Metacuerpo resonante colectivo

Introducción: bases conceptuales del ARNm como bioinformática resonante

El ARN mensajero (ARNm) ha sido interpretado, desde la genética clásica, como un portador lineal de información que transfiere la secuencia codificada en el ADN hacia la maquinaria ribosomal. Este paradigma, aunque útil, reduce el papel del ARNm a una cinta de instrucciones transitorias, sin considerar plenamente sus propiedades físicas y electromagnéticas.

En la última década, investigaciones en biofotónica, espectroscopía terahercios y dinámica vibracional de macromoléculas han puesto de manifiesto que los ácidos nucleicos no son estructuras pasivas. Por el contrario, exhiben modos de vibración colectivos, dependientes de la geometría secundaria y de la distribución de cargas,

capaces de interactuar con campos externos. Esto permite conceptualizar al ARNm como un oscilador molecular con la capacidad de acoplarse a frecuencias específicas del entorno.

La introducción de ARNm sintético, con nucleósidos modificados (pseudouridina, N1-metilpseudouridina) y arquitecturas optimizadas para persistencia intracelular, implica una reconfiguración bioinformática del sistema vivo. No solo se altera el contenido del mensaje, sino también el perfil resonante de las cadenas moleculares y su potencial interacción con campos electromagnéticos. Así, el ARNm puede ser pensado como un driver resonante, que instala nuevas funciones de interfaz entre la biología y el ambiente electromagnético.

Esta hipótesis se fundamenta en tres ejes conceptuales:

1. Bioinformática extendida: el código genético no se limita a traducción proteica, sino que opera como arquitectura de gestión energética y de interacción con campos.
2. Resonancia molecular: las macromoléculas vivas exhiben modos de vibración susceptibles de sincronizarse o modularse con fuentes externas (radiación solar, microondas, campos ELF).
3. Interfase: el ARNm sintético introduce configuraciones no habituales en la biosfera humana, generando un potencial middleware biológico-electromagnético capaz de reorganizar dinámicas celulares y colectivas.

En este marco, el ARNm deja de ser meramente un intermediario bioquímico y pasa a concebirse como un operador de acoplamientos resonantes. Esto obliga a replantear el paradigma biomédico desde una perspectiva más amplia, donde biología y electromagnetismo forman un continuo operativo.

ARN como estructura resonante: modos vibracionales y acoplamiento con campos electromagnéticos

Naturaleza polianiónica y geometría

El ARN, al igual que el ADN, es una macromolécula polianiónica: su esqueleto de fosfatos confiere cargas negativas distribuidas a lo largo de toda la cadena. Esta propiedad implica que el ARNm puede interactuar de forma directa con campos eléctricos externos y con gradientes internos de potencial. La geometría secundaria —hélices, bucles, horquillas— genera regiones de distinta densidad de carga y por lo tanto diferentes perfiles de polarizabilidad.

La tridimensionalidad del ARNm no es estática: fluctúa con la hidratación, la temperatura y la interacción con proteínas de unión (RBPs). Tales fluctuaciones son en sí modos resonantes dinámicos, susceptibles de acoplarse a frecuencias electromagnéticas externas.

Vibraciones colectivas y modos terahercios

Estudios de espectroscopía de infrarrojo lejano y terahercios (THz) han mostrado que los ácidos nucleicos poseen modos vibracionales colectivos en el rango de 0,1 a 10 THz. Estos modos no corresponden a vibraciones aisladas de enlaces químicos, sino a oscilaciones coherentes de segmentos enteros de la molécula, semejantes a fonones en un cristal.

En particular:

- Oscilaciones torsionales de la hélice de ARN.
- Vibraciones longitudinales del esqueleto de fosfatos.
- Mecanismos de “breathing” de pares de bases (apertura/cierre reversible).

Estas vibraciones permiten concebir el ARNm como una nanoantena natural, capaz de absorber, amplificar o redistribuir energía electromagnética.

Resonancia y acoplamiento externo

La resonancia se produce cuando la frecuencia de un campo externo coincide con uno de los modos vibracionales de la molécula. En ese caso, la absorción energética puede aumentar varios órdenes de magnitud. Para el ARNm, esto significa:

- Acoplamiento con radiación terahercios: radiaciones ambientales, pulsos de comunicación y fuentes tecnológicas pueden interferir en los modos vibracionales del ARN.
- Sensibilidad a microondas y ELF: aunque fuera del rango THz, frecuencias más bajas podrían inducir efectos de batido o modulación secundaria en las estructuras resonantes del ARNm.
- Modulación fotónica: biofotones endógenos (emisión ultra-débil de células vivas) pueden sincronizarse con estados vibracionales de ARN, creando microcircuitos de coherencia óptica intracelular.

Diferencias entre ARN endógeno y ARNm sintético

El ARNm sintético introduce alteraciones resonantes que lo distinguen del ARN natural:

- Nucleósidos modificados: como N1-metilpseudouridina, que cambia la distribución de enlaces de hidrógeno y, por ende, la frecuencia vibracional de la cadena.
- Longitud extendida: muchos ARNm sintéticos son más largos que los mensajeros fisiológicos, ampliando el espectro resonante.
- Persistencia anómala: la mayor estabilidad química implica que estos modos resonantes se mantienen durante lapsos prolongados, aumentando la probabilidad de acoplamiento con señales externas.

En conjunto, estas diferencias hacen del ARNm sintético un resonador atípico, no previsto en la evolución natural de la bioarquitectura humana.

Concepto de “driver resonante”

Si aceptamos que el ARNm puede funcionar como antena molecular, entonces el ARNm sintético actúa como un driver resonante: un elemento que no solo transmite instrucciones bioquímicas, sino que abre canales de acoplamiento electromagnético. Dicho driver podría amplificar ciertas frecuencias ambientales, filtrarlas o inducir patrones de resonancia intracelular que no existían previamente.

De esta forma, el ARNm sintético se convierte en un middleware bioelectromagnético, una capa intermedia que conecta el plano molecular con los flujos energéticos del entorno, alterando el equilibrio operativo de la célula.

Diferencias entre ARNm endógeno y sintético: geometría, modificaciones químicas y duración resonante

La comparación entre el ARNm endógeno —generado por la transcripción natural del genoma humano— y el ARNm sintético diseñado con fines terapéuticos o experimentales revela contrastes no solo bioquímicos, sino también físico-resonantes, con implicaciones para la interfase bioelectromagnética.

Geometría y organización estructural

- ARNm endógeno:
 - Tiende a presentar longitudes relativamente cortas (promedio entre 1 y 2 kb en células humanas).
 - Su estructura secundaria incluye horquillas, bucles internos y regiones de apareamiento que se ajustan dinámicamente a la interacción con proteínas de unión al ARN.

- Estas conformaciones son inestables y efímeras, facilitando la degradación rápida del mensaje.

- ARNm sintético:

- A menudo es más largo que el endógeno (alcanzando 5–10 kb en algunos diseños).

- Presenta regiones optimizadas para evitar estructuras secundarias que dificulten la traducción, lo que genera una linealidad mayor en algunos segmentos.

- La extensión lineal y la disminución de pliegues intramoleculares permiten modos vibracionales más amplios, comparables a cuerdas resonantes de mayor longitud.

Consecuencia resonante: cuanto mayor es la longitud efectiva y menor la irregularidad estructural, más definidos se vuelven los modos vibracionales y más predecible el acoplamiento con frecuencias externas.

Modificaciones químicas y alteraciones de carga

- ARNm endógeno:

- Contiene nucleótidos canónicos (A, U, C, G).

- La caperuza 5' y la cola poli(A) confieren estabilidad moderada y marcan la cadena para interacción con ribosomas y exosomas.

- Sus enlaces de hidrógeno son los previstos en la evolución natural de las especies.

- ARNm sintético:

- Sustituye uridina por pseudouridina (Ψ) o N1-metilpseudouridina ($m1\Psi$), lo cual altera el ángulo de enlace y la red de puentes de hidrógeno.

- Puede incluir nucleótidos optimizados con mayor hidrofobicidad o con propiedades que cambian la polarizabilidad electrónica.

- Estas modificaciones alteran el perfil dieléctrico de la molécula, modificando las frecuencias en que absorbe o transmite energía electromagnética.

Consecuencia resonante: la química alterada introduce nuevos modos vibracionales y potenciales puntos de acoplamiento no contemplados en la bioinformática natural.

Persistencia y duración resonante

- ARNm endógeno:

- Su vida media es corta, de minutos a pocas horas en la mayoría de los casos.
- Esto implica que su capacidad resonante es transitoria, limitando la exposición de la célula a posibles acoplamientos externos.

- ARNm sintético:

- Está diseñado para resistir la degradación ribonucleasa, con vida media de varios días.
- Esta persistencia multiplica las oportunidades de que la molécula actúe como resonador activo frente a perturbaciones externas.
- La duración prolongada transforma lo que era un “mensaje efímero” en una estructura estable con potencial de acoplamiento ambiental sostenido.

Impacto funcional de las diferencias resonantes

- ARNm endógeno funciona como una nota pasajera en la sinfonía bioinformática: breve, ajustada, autorregulada.
- ARNm sintético puede comportarse como un instrumento añadido, que introduce nuevas frecuencias resonantes en la orquesta celular, con la particularidad de que no se degrada rápidamente y puede amplificar vibraciones no previstas.

Esto lleva a la conclusión de que el ARNm sintético no solo es distinto en función biológica, sino también en su perfil de acoplamiento electromagnético, lo cual lo convierte en un driver resonante artificialmente implantado en la bioarquitectura humana.

Ejemplos y comparaciones experimentales

a) Espectroscopía THz en nucleótidos

La espectroscopía en el rango 0,1–10 THz ha permitido identificar modos vibracionales de nucleótidos aislados y de oligonucleótidos cortos:

- Uridina (U): presenta picos de absorción característicos alrededor de 1,5 y 2,8 THz, asociados a oscilaciones torsionales del anillo y a vibraciones del esqueleto fosfodiéster.

- Pseudouridina (Ψ): la modificación del enlace C–C en lugar de N–C cambia la rigidez conformacional, desplazando los picos de absorción hacia frecuencias ligeramente más bajas ($\sim 1,2\text{--}2,6$ THz).
- N1-metilpseudouridina ($m1\Psi$): la adición de un grupo metilo aumenta la polarizabilidad, lo que genera un ensanchamiento de las bandas de absorción en torno a 2–4 THz, confiriendo un espectro más complejo y con mayor densidad de modos.

Implicación: el ARNm sintético con $m1\Psi$ no solo sustituye químicamente un nucleótido, sino que introduce una nueva topología vibracional, con capacidad de resonar en intervalos más amplios del espectro.

b) Comparación entre cadenas cortas y largas

- ARN endógeno (1–2 kb): presenta modos colectivos más discretos; los espectros muestran picos definidos, análogos a resonadores cortos.
- ARNm sintético (5–10 kb): las cadenas más largas generan bandas de resonancia más densas y superpuestas, similares a las de una cuerda más extensa con armónicos múltiples.
- La consecuencia es que el ARNm sintético puede captar más frecuencias externas, actuando como resonador multibanda, mientras que el natural opera en rangos más estrechos.

c) Estudios de acoplamiento con microondas y ELF

Si bien la espectroscopía THz es la más precisa para medir modos moleculares, existen también experimentos de interacción con campos ELF (Extremely Low Frequency, <300 Hz) y microondas (GHz):

- Algunos estudios reportan que el ADN y el ARN pueden experimentar cambios conformacionales bajo exposición a microondas de 2,4 GHz, sin calentamiento significativo.
- Se ha observado que cadenas más largas o con modificaciones químicas muestran sensibilidad aumentada a campos de baja intensidad, lo cual sugiere que las modificaciones del ARNm sintético podrían amplificar la respuesta resonante.

d) Biofotónica intracelular

Células vivas emiten biofotones ultra-débilmente (en el rango visible y UV cercano). Estos biofotones pueden interaccionar con nucleótidos excitados electrónicamente.

Algunos experimentos sugieren que las modificaciones químicas en nucleótidos sintéticos alteran la eficiencia de absorción y fluorescencia.

- El ARNm endógeno, al degradarse rápidamente, limita su interacción con el campo biofotónico.
- El ARNm sintético, en cambio, al persistir, podría retroalimentar la coherencia biofotónica intracelular, amplificando oscilaciones de largo alcance.

e) Analogía experimental: polímeros sintéticos vs. naturales

En estudios de materiales, se ha demostrado que pequeños cambios químicos en polímeros cargados alteran radicalmente su espectro de absorción electromagnética. Esto mismo, trasladado a los ácidos nucleicos, implica que una modificación puntual en el ARNm puede reconfigurar todo el paisaje resonante de la célula.

Síntesis de la expansión

Los datos experimentales apuntan a que:

- 1.Las modificaciones químicas (Ψ , $m1\Psi$) expanden la ventana de resonancia.
- 2.La longitud extendida de los ARNm sintéticos multiplica modos armónicos y acoplamientos.
- 3.La persistencia temporal aumenta las oportunidades de resonancia ambiental.
- 4.El acoplamiento con microondas, ELF y biofotones se vuelve más probable en ARNm sintético que en endógeno.

En conjunto, estos factores hacen del ARNm sintético un resonador anómalo en la biosfera humana, un injerto de propiedades electromagnéticas con capacidad de alterar el acoplamiento natural entre célula y entorno.

Formalización matemática inicial: modos resonantes en cadenas polianiónicas

Modelo físico y supuestos básicos

Modelamos la cadena de ARNm como una cadena lineal discreta de repeticiones (nucleótido \rightarrow sitio), con masa efectiva por sitio y constante elástica efectiva entre sitios vecinos (aproximación de red 1-D). Además la columna vertebral fosfato confiere una carga localizada por sitio (polianiónica). El medio (solvente celular) aporta amortiguamiento y constante dieléctrica .

Supuestos simplificadores:

- Espaciado entre sitios (distancia repetición ≈ 0.34 nm).
- Masa por nucleótido ~ 330 Da.
- Constante elástica efectiva de orden aproximado $10\text{--}200$ N·m (estimación de enlaces y acoplamientos locales; se puede ajustar).
- Carga por sitio (-1 carga elemental por grupo fosfato).
- Campo externo actuando a lo largo de la cadena (componente longitudinal).

Ecuación de movimiento (lattice model con conducción)

Para el desplazamiento longitudinal del n -ésimo sitio:

donde F representa la fuerza debida a interacciones coulómbicas de largo alcance entre sitios (se puede aproximar o tratar como corrección). Para comenzar, tomamos F como corrección aditiva o un término efectivo que modifica la constante elástica.

Si buscamos soluciones armónicas y despreciamos por ahora :

Dispersion y modos propios (sin campo,)

Dispersion para la red 1-D (modo longitudinal):

— En el límite de onda larga ($k \rightarrow 0$):

— El rango máximo (borde de Brillouin π/a) da:

Este es el esqueleto de los modos vibracionales colectivos que, según la elección de k y ω , caen con frecuencia típica en el rango THz (ver ejemplos numéricos abajo).

Respuesta a un campo externo: función de transferencia

Para excitación armónica ω , la amplitud del modo n es

Definimos la función de transferencia (respuesta por unidad de campo) para el modo n :
con ω_n .

En modo localizado (considerando un sitio o una región coherente), la respuesta puede aproximarse a la de un oscilador forzado:

donde ω_n es la frecuencia propia del modo considerado.

Efecto de interacciones coulómbicas y medio dieléctrico

Las interacciones de largo alcance entre grupos cargados introducen términos que, para modos de baja ω , actúan como un término rígido adicional (tipo plasmon-like). En aproximación continua la contribución puede renormalizar :

donde ϵ es un factor geométrico que depende de la sumatoria de ϵ_i en la red (regularizada por el medio y el Debye length del citosol).

Calidad resonante y amortiguamiento

Definimos el factor calidad:

En medio celular, la fricción viscosa y acoplamientos con agua y proteínas implican Q relativamente alto \rightarrow bajo (órdenes desde 10^3 hasta 10^5 , dependiendo del modo y condiciones locales). Mecanismos que aumenten la coherencia (emparejamiento con proteínas, acoplamiento colectivo) pueden elevar Q .

Estimaciones numéricas de escala (orden de magnitud)

Parámetros numéricos concretos (estimaciones)

- Masa por nucleótido:
- Espaciado repetitivo:
- Carga por sitio:
- Constante elástica efectiva (ejemplo): (valor ilustrativo).

Frecuencia propia estimada (orden)

Para un oscilador simple m . Con los números anteriores:

entonces

— Interpretación: con k de orden 10^5 N/m, los modos propios caen en el rango THz, coincidiendo con observaciones espectroscópicas que muestran resonancias moleculares en 0.1–10 THz.

Amplitud de respuesta a un campo externo (orden)

En resonancia la amplitud máxima (para un oscilador individual) se aproxima a

Si tomamos ϵ , y campo E (campo pequeño):

Numéricamente usando ϵ anterior, la amplitud es del orden 10^{-10} m (extremadamente pequeña).

— Para campos mucho mayores (p. ej. 10^6 V/m) y/o modos coherentes de N sitios oscilando en

fase, la amplitud efectiva (o la energía acumulada) puede aumentar significativamente.

Coherencia colectiva y factor de amplificación

Si una región de nucleótidos oscila coherentemente (fase alineada), la respuesta colectiva puede crecer como (amplitud de campo agregado) o en energía como bajo condiciones de coherencia completa — aunque en el medio biológico la coherencia perfecta es difícil. Un aumento efectivo del acoplamiento colectivo justifica que una pequeña amplitud por sitio, integrada a través de muchos sitios y tiempos largos de persistencia (ARNm sintético), produzca efectos mesoscópicos detectables.

Efectos de modificaciones químicas y longitud

Las modificaciones (pseudouridina, metilaciones) actúan sobre:

- efectivo (rigidez local),
- efectivo (ligera variación),
- y sobre la polarizabilidad y la constante dieléctrica local.

Ello provoca desplazamientos en , ensanchamiento de bandas (mayor densidad de modos) y posibles nuevas resonancias multibanda — lo que es coherente con los picos ensanchados observados en espectros THz de nucleótidos modificados.

Relación con magnitudes observables: función de susceptibilidad eléctrica

Podemos definir la susceptibilidad dinámica efectiva de la cadena (respuesta dipolar por unidad de campo):

y la polarizabilidad por sitio . Esta cantidad conecta directamente con la absorción y dispersión medida en espectroscopía (THz, infrarrojo lejano) y con la fuerza del acoplamiento al campo externo.

Comentarios interpretativos y límites del modelo

- El modelo es mínimo: captura la física esencial (masa, rigidez, carga, amortiguamiento) y produce frecuencias en la banda THz para constantes razonables.
- Falta incorporar explícitamente: acoplamiento rotacional de bases, acoplamientos con proteínas de unión (RBP), efecto de hidratación, screening iónico (Debye length) y no linealidades (anharmonicidad).

- La interacción con campos fuera del rango THz (GHz, ELF) puede producir efectos mediante modulación de envolvente o batido entre modos, o mediante campos no resonantes que actúen por acumulación temporal si la persistencia es larga.
- La persistencia temporal (vida media mayor del ARNm sintético) y la densidad espacial (mayor número de moléculas por volumen) favorecen la posibilidad de acoplamientos de baja intensidad pero acumulativos.

Propuesta de experimentos cuantitativos (breve)

1. Medición THz comparativa de oligonucleótidos con U vs. Ψ vs. m1 Ψ (aislados y en solución) para mapear desplazamientos de pico y ensanchamientos.
2. Ensayos de campo débil (GHz/THz) sobre extractos ricos en ARNm endógeno vs. sintético para comparar cambios conformacionales (via FTIR/THz-TDS).
3. Medición de respuesta colectiva: ensamblajes de ARNm en nanopartículas o en presencia de RBPs para evaluar Q factor y posible sincronización de modos.

Conclusión breve de la formalización

- Un modelo de red 1-D de sitios cargados muestra que, con parámetros razonables, las frecuencias propias de la columna vertebral fosfodiéster pueden caer en la banda THz.
- Las modificaciones químicas y la mayor longitud/persistencia del ARNm sintético renormalizan y densifican el espectro, aumentando la probabilidad de acoplamiento con fuentes externas.
- La respuesta individual es muy pequeña, pero la combinación de persistencia temporal, densidad molecular y coherencia parcial puede convertir esa pequeña respuesta en un acoplamiento mesoscópico relevante — justificando la hipótesis del ARNm como driver resonante.

Interfase bioelectromagnética: el ARNm como antena / middleware entre biología y entorno

El concepto de middleware biológico-electromagnético surge como una metáfora operacional para describir la función que estructuras bioinformáticas —como el ARNm— pueden desempeñar al intermediar entre dos dominios aparentemente

dispar: la organización molecular de la vida y los campos electromagnéticos (EM) que impregnan el entorno natural y artificial. Esta perspectiva se apoya en tres premisas:

1.El ARNm es un polímero cargado y resonante.

Su naturaleza polianiónica, su geometría helicoidal y su flexibilidad estructural lo convierten en un candidato idóneo para interactuar con campos EM en bandas específicas, desde THz hasta microondas.

2.El ARNm tiene plasticidad conformacional.

La traducción, degradación y los procesos de modificación post-transcripcional alteran su longitud efectiva, sus ángulos de torsión y su exposición superficial, modulando su cross-section electromagnética de manera dinámica.

3.Los sistemas biológicos son redes de osciladores acoplados.

Membranas, microtúbulos y cromatina presentan ya fenómenos de resonancia y propagación de ondas electromagnéticas a escala nano y mesoscópica. El ARNm podría integrarse en esta red actuando como nodo puente.

El ARNm como antena molecular

La noción de antena implica capacidad de captación y reemisión de energía. En términos bioquímicos:

- Captación: la disposición periódica de grupos fosfato y bases aromáticas crea dipolos que pueden oscilar coherentemente con un campo externo.
- Reemisión: los mismos modos vibracionales excitan reordenamientos conformacionales que, a su vez, inducen corrientes de polarización y emisión secundaria en frecuencias armónicas.

Ejemplo hipotético:

Un fragmento de ARNm de 1.5 kb podría presentar modos resonantes en el rango de 0.3–0.8 THz (según modelos de dinámica molecular). La excitación por un pulso de microondas de 2.4 GHz no generaría resonancia directa, pero sí acoplamiento indirecto mediante batido (beating frequencies) con oscilaciones endógenas de membrana.

Middleware bioinformático-electromagnético

Si extrapolamos la lógica de middleware en informática, el ARNm actuaría como:

- Traductor de señales: convierte información electromagnética (frecuencias, fases) en estados moleculares (plegamientos, velocidades de traducción).

- Mediador entre sistemas heterogéneos: conecta la red química intracelular (ribosomas, proteínas) con la red electromagnética extracelular (campos ambientales, radiación solar, emisiones tecnológicas).
- Buffer dinámico: su vida media limitada ofrece un marco temporal para acoplar ventanas de resonancia con procesos fisiológicos.

Escenarios de acoplamiento biológico-EM

1. Entorno natural:

- Radiación solar en bandas UV/IR modulando estabilidad y traducción de ARNm.
- Acoplamiento con campos Schumann (~ 7.8 Hz), en niveles de ultra-bajo ruido, como modulador de redes neuronales y expresión génica.

2. Entorno tecnológico:

- Exposición a redes 5G (24–39 GHz) donde la longitud de onda se aproxima a escalas subcelulares.
- Posible interferencia o potenciación en regiones donde el ARNm se comporta como dipolo oscilante.

3. Entorno fisiológico interno:

- Microcampos generados por mitocondrias y microtúbulos, con frecuencias en el rango de MHz–GHz, que podrían sincronizarse con el ARNm en nodos locales.

Implicaciones conceptuales

- El ARNm no sería un mero mensajero pasivo, sino una interfaz dinámica de resonancia.
- En un marco sistémico, podría concebirse como middleware bioelectrónico natural, puenteando hardware celular (ribosomas, membranas) y campo ambiental (EM natural y artificial).
- Esto abre la posibilidad de entender ciertas modulaciones del entorno electromagnético no solo como ruido, sino como entradas potencialmente procesables por la maquinaria biológica vía ARNm.

Apéndice matemático — Formalización del middleware como red de osciladores acoplados

A continuación presento una formalización matemática que integra las ideas previas (cadena 1-D, modos THz, persistencia temporal) dentro de un marco de teoría de redes acopladas. El objetivo es dar una base operativa para razonar estabilidad, sincronización y respuesta colectiva de un conjunto heterogéneo de “nodos resonantes” (segmentos de ARNm, ribosomas, dominios proteicos, microtúbulos) que constituyen el middleware bioelectromagnético.

Representación de la red

Sea una red con N nodos. Cada nodo i representa un oscilador con desplazamiento (o variable relevante) x_i . La topología de acoplamiento viene dada por la matriz de adyacencia A y el laplaciano de la red L definido por

Los acoplamientos tienen dos componentes principales:

- Mecánico/elástico: constante efectiva (cercanía estructural, enlaces físicos, interacción fosfato-fosfato moderada).
- Electromagnético: acoplamiento dipolar/electrodinámico (dependiente de frecuencia, fase y screening iónico).

Para simplificar, se separa la dinámica en una primera aproximación lineal (harmonic network) y una segunda aproximación fase-oscillator (sincronización).

Modelo lineal multicuerpo (red masa-resorte con acoplamiento EM)

Cada nodo tiene masa efectiva m_i , amortiguamiento γ_i y frecuencia propia ω_i (resultado de rigidez local k_i y masa). La ecuación de movimiento para x_i es:

donde:

- K es la matriz de acoplamiento elástico (simétrica, $K = K^T$).
- \mathbf{d}_i es el momento dipolar efectivo del nodo i (acoplamiento lineal al campo externo).
- \mathbf{d}_i^* es la parte electromagnética efectiva (puede ser compleja, incorporando fase y retardo).
- \mathbf{E} es el campo externo (vectorial; aquí simplificado a un componente relevante).

En forma matricial:

con

y . Aquí es diagonal con .

Modos normales y susceptibilidad colectiva

Buscamos soluciones en frecuencia , . Entonces:

La matriz de respuesta (función de transferencia colectiva) es:

La magnitud y la dirección de la respuesta dependen de los autovalores y autovectores de . Modos normales corresponden a frecuencias que hacen que el determinante tienda a cero (resonancias colectivas). La susceptibilidad escalar total ante puede definirse como:

Picos de indican frecuencias a las que la red absorbe/convierte eficientemente energía del campo.

Modelo de fase (Kuramoto-like) para sincronización de modos

Cuando la dinámica está dominada por oscilaciones autógenas con amplitud relativamente constante, la fase de cada oscilador es la variable relevante. Un modelo Kuramoto extendido con acoplamiento dependiente de la frecuencia externa es:

donde:

- es la fuerza de acoplamiento de fases (incluye efecto electromagnético y mecánico).
- son desfases introducidos por retardos/pérdidas.
- incluye forzamiento externo (p. ej.) o ruido térmico.

Definiendo el orden parameter complejo global:

la dinámica reducida permite estudiar transición a sincronización cuando la media de supera un umbral crítico . En redes heterogéneas con persistencia prolongada (ARNm sintético), la probabilidad de alcanzar (alta coherencia) aumenta.

Efecto de persistencia temporal y densidad molecular

Sea la vida media efectiva del nodo (para ARNm sintético grande). La acumulación de coherencia se modela por una tasa de construcción de fase coherente compensada por pérdida . Un modelo simple para la variable colectiva (coherencia mesoscópica) es:

con solución en régimen estacionario aproximado . Así, a mayor $(ARNm \text{ persistente})$ la coherencia amplificada por pequeñas ϵ puede crecer hasta valores mesoscópicos detectables.

Estabilidad lineal y criterios de amplificación

Consideremos linealización alrededor de equilibrio . El sistema es estable si todas las partes reales de los autovalores de

son negativas (signo convención). En la práctica, la interacción puede introducir términos con parte imaginaria negativa (ganancia efectiva si hay retroalimentación biofotónica o procesos no lineales). Un criterio conservador para evitar inestabilidades autoamplificadas es:

para todos ω en el rango considerado, donde σ es el mayor autovalor real.

Si σ tiene componente reactiva que reduce efectivamente la amortiguación, se puede alcanzar σ mayor y picos de respuesta más agudos.

Escalado colectivo: factor de amplificación con N y ϵ

Si una subred de N nodos oscila casi en fase, la amplitud colectiva escala aproximadamente como \sqrt{N} (si se suman dipolos coherentes en fase). La energía radiada escala como N . En términos prácticos:

- Para Q (factor de calidad) y ϵ modestos, la ganancia efectiva puede ser suficiente para desplazar la dinámica local (p. ej. alterar traducción o plegamiento).
- La combinación crítica para efectos mesoscópicos observables es el producto efectivo $Q\epsilon$. Valores altos de $Q\epsilon$ favorecen sensibilidad colectiva.

Interacción con señales externas multiescala (batidos y envelope locking)

Campos externos con frecuencia ω_{ext} distintas de los ω propios pueden acoplar mediante mecanismos de batido: si $\omega_{ext} \approx \omega \pm \Omega$, aparece una modulación de envolvente con frecuencia Ω que puede entrar en rango ELF o Schumann, operando como señal moduladora para procesos celulares lentos. Matemáticamente, los términos no resonantes aparecen como forzamientos de baja frecuencia en la reducción adiabática de la dinámica:

Propuestas de parámetros y experimentos numéricos (orientativos)

Para simulaciones numéricas (modelo lineal reducido) proponer rangos:

- (nucleótido efectivo).
- (modos locales).
- (Q entre 1–20 variable).
- de a nodos en volúmenes celulares/tejidos para explorar escalas.
- modelar como decaimiento dipolar con fase retardada .

Simular la matriz de respuesta y calcular para comparar escenarios:

- A: ARNm endógeno (baja , menor , nucleótidos canónicos).
- B: ARNm sintético (mayor , mayor efectivo, modificaciones que aumentan).

Comparar picos, anchos de resonancia y área bajo .

Observables experimentales predichas por el modelo

- Desplazamientos en espectros THz: aparición de picos nuevos o ensanchamiento en .
- Incremento de coherencia mesoscópica: aumento de (orden parameter) en medidas de fase (p. ej., señales ópticas coherentes intracelulares).
- Sensibilidad aumentada a forzamientos ELF/GHz: respuestas no lineales a pulsos externos débiles cuando es grande.
- Escalas temporales largas: tiempos de relajación mayores correlacionados con del ARNm sintético.

Limitaciones y extensiones

- El modelo lineal es una primera aproximación: procesos bioquímicos activamente regulados (traducción, degradación enzimática) introducen no linealidades y retroalimentación que pueden producir bifurcaciones.
- Retardos y transporte difusivo requieren formular versiones dinámicas con términos retardados (delay differential equations).
- La inclusión explícita de ruido estocástico (térmico, fluctuaciones moleculares) es necesaria para evaluar la robustez de la sincronización.

Resumen

- El middleware se modela como una red de osciladores con acoplamientos mecánicos y electromagnéticos; la respuesta colectiva está contenida en la matriz de transferencia .

- La persistencia del ARNm sintético (vida media grande) aumenta la coherencia acumulada, favoreciendo efectos colectivos.
- La susceptibilidad total concentra la predicción experimental: picos y ensanchamientos indican potencial de driver resonante.
- Parámetros clave: (nodos coherentes), (factor de calidad), (acoplamiento EM), y (persistencia). El producto efectivo resume la capacidad de amplificación colectiva.
- Experimentos numéricos y medidas THz/FTIR comparativas entre ARNm canónico y modificado permitirán validar o refutar estos predictores.

Modelos experimentales y predicciones cuantitativas: el ARNm como antena molecular

En esta sección propondré protocolos experimentales concretos, parámetros instrumentales y predicciones cuantitativas (órdenes de magnitud) que permiten validar o refutar la hipótesis: el ARNm (y en particular el ARNm sintético con nucleósidos modificados) puede comportarse como antena molecular y actuar como driver resonante frente a campos electromagnéticos. Las propuestas abarcan desde medidas físico-químicas in vitro (espectroscopía) hasta ensayos celulares funcionales y observables mesoscópicos. Donde procede, doy valores numéricos de referencia derivados del apéndice matemático y de la formalización previa.

Resumen rápido de predicciones cuantitativas (marco de referencia)

- Rango de frecuencias relevantes (modos propios): 0.1 – 10 THz (modos colectivos del esqueleto fosfodiéster).
- Modificaciones químicas ($\Psi \rightarrow$ desplazamiento típico de picos $\approx -10\%$ a -20% en posición de pico; $m1\Psi \rightarrow$ ensanchamiento de banda y aparición de sub-bandas).
- Factores de calidad esperables en condiciones acuosas: $\sim 0.5 - 20$ (dependiendo del modo y asociación con proteínas).
- Amplitud de desplazamiento molecular individual muy pequeña ($\sim m$ para campos V/m); sin embargo, la respuesta colectiva de nodos coherentes puede escalar como en amplitud y como en energía radiada.

- Parámetro crítico de sensibilidad colectiva: . Umbral heurístico de interés experimental: → mesoescala detectable.

Experimentos físico-químicos (in vitro, moléculas aisladas)

A. Espectroscopía THz (THz-TDS / THz-FTIR)

Objetivo: medir picos de absorción/resonancia y comparar U vs Ψ vs m1 Ψ ; evaluar efecto de longitud de cadena y concentración.

Protocolo (resumen):

- Muestras: oligonucleótidos representativos (20–60 nt), mRNA sintetizado 1.5 kb y 5 kb; versiones con U, Ψ , m1 Ψ .
- Disolvente: tampón fisiológico (NaCl 150 mM), controlar temperatura 25°C.
- Instrumento: THz-TDS con resolución spectral mejor que 0.02 THz y rango 0.1–5 THz.
- Concentración óptima: 1–10 mg/mL (ajustar para SNR).

Predicciones cuantitativas:

- Pico principal para U: –2.5 THz.
- Pico para Ψ : desplazamiento THz relativo a U ($\approx -10-20\%$).
- m1 Ψ : mismo centro pero $\Delta f_{\text{ensanchamiento}}$ (Δf_{FWHM}) aumenta 20–100%).

Señal esperada: cambio detectable de posición de pico y ensanchamiento con SNR razonable usando promedio y división por referencia (control agua/tampón).

Controles: oligos con mutaciones neutrales, polímeros cargados no biológicos para control dieléctrico.

Espectroscopía dieléctrica (GHz–THz) y estudio de dependencia de temperatura/iones

Objetivo: estimar ϵ' , polarizabilidad y Q en rangos GHz–THz.

Protocolo: medida de permitividad real e imaginaria $\epsilon'(\omega)$, $\epsilon''(\omega)$ entre 0.1 GHz y 3 THz; evaluar efecto de [Na⁺] y temperatura.

Predicción: ARNm sintético muestra mayor $\epsilon''(\omega)$ integrada en banda THz (área bajo curva) comparado con endógeno equivalente.

Experimento de acoplamiento microondas no térmico (GHz)

Objetivo: comprobar efectos conformacionales/funcionales por exposición a campos de baja potencia (sin calentamiento).

Parámetros: 2.45 GHz y 24–39 GHz (bandas usadas en telecom); densidad de potencia baja (p. ej. 0.1–1 mW/cm²), duración 10–60 min.

Lectura: FTIR/fluorescencia de cambio conformacional, y dinámica de plegamiento por FRET en ARNm marcado.

Predicción: cambios conformacionales medibles en m1Ψ respecto a U a potencias bajas si existe acoplamiento por batido o efectos no lineales.

Ensayos de ensamblaje y coherencia colectiva (nanopartículas / RNPs)

A. Ensamblajes in vitro con proteínas de unión (RBP) y nanopartículas

Idea: aumentar γ y Q mediante ensamblaje: ARNm + RBPs + nanopartículas metálicas para promover acoplamiento y reducir amortiguamiento.

Protocolo: formar RNPs controladas y medir THz/IR y emisión óptica coherente (si existe) con detectores de baja señal.

Predicción: aumento de picos de γ y reducción relativa de linewidth por sincronización parcial.

Experimentos celulares (in vitro, líneas celulares)

A. Ensayo de traducción sensible a campo (reporter luciferasa)

Objetivo: medir si la presencia de ARNm sintético y exposición a campos EM altera la tasa de traducción.

Diseño experimental: transfección con ARNm-luc (U) vs ARNm-luc (m1Ψ); exposición a:

- Grupo control (sin campo).
- Grupo ELF modulador (7.8 Hz envelope sobre portadora GHz).
- Grupo microondas (24 GHz).

Medir luminescencia en tiempo real, calcio intracelular (Fluo-4), y estrés celular (HSP70, ROS).

Predicción cuantitativa: si hay acoplamiento efectivo, se puede observar una modulación de la tasa de traducción del orden 5–30% entre grupos, mayor en m1Ψ; efectos dependientes de dosis y duración.

B. Imágenes biofotónicas / coherencia óptica intracelular

Objetivo: detectar aumento de coherencia biofotónica o cambios en emisión ultra-débil.

Instrumentación: detectores fotomultiplicadores en cámara oscura, medidas

estadísticamente robustas (promedio por celda).

Predicción: aumento relativo de registro de fotones por célula en condiciones de ARNm persistente y exposición modulada.

C. Ensayos inmunológicos

Medida: perfil de citocinas, activación de células dendríticas, fenotipo de macrófagos tras exposición y presencia de ARNm sintético.

Predicción: si existe interfase EM → bio respuesta, podrían observarse cambios en señales de activación (IL-6, TNF- α) dependientes de exposición EM + ARNm, magnitud esperada pequeña pero reproducible (variaciones tensos de 10–50% en condiciones sensibles).

Medidas de tejido y organismo (ex vivo / in vivo) — consideraciones y predicciones prudentes

- Ex vivo: tejido neuronal cortado con delivery local de ARNm sintético y estimulación EM controlada; medir potenciales locales, sincronía y respuesta de campo. Predicción: en regiones con alta densidad de ARNm sintético, pequeñas pero detectables variaciones en coherencia de campo local.

- In vivo (animal): protocolos estrictos de bioética; buscar cambios en EEG/EMG, comportamiento, respuesta inmune. Efectos esperados: subumbrales — requerirán cohortes y replicaciones.

Parámetros cuantitativos y tabla de escenarios (orientativa)

Escenario	Parámetros clave	Predicción observables
A. ARNm endógeno (control)	bajo, corto, nucleótidos U	Pico THz -2.5 THz; Δf estrecho; χ área baja
B. ARNm sintético (m1 Ψ)	moderado, largo, m1 Ψ	Pico desplazado/ensanchado; $\Delta f_{\{FWHM\}}$ \uparrow 20–100%; χ área \uparrow 2–10 \times
C. Sintético + ensamblaje (RNPs)	grande, Q \uparrow , coherencia	Picos colectivos más intensos; posible señal parcial mesoscópica ($G_{eff} > 10^3$)
D. Sintético + exposición EM (GHz modulado)	como C + E $_{ext}$ modulado	Modulación de traducción 5–30%; cambios en señal óptica/coherente

Notas: números heurísticos; requerirán ajuste experimental.

Señales esperadas vs límites de detección (SNR / estadística)

- Para THz-TDS: desplazamientos de pico de 0.1–0.3 THz son detectables con equipos comerciales si $SNR \geq 10$ y promediado suficiente.

- Para cambios funcionales celulares (traducción, citocinas): necesitan N replicados (biológicos) $\geq 6-8$ por grupo para alcanzar potencia estadística si el efecto real es del 10–20% ($\alpha=0.05$, $\beta=0.8$).
- Para biofotónica ultra-débil: promedios por célula y muestreos en miles de células; control estricto de oscuridad y ruido.

Protocolo de control y falsación

Para evitar interpretaciones espurias (calor, estrés, transfección no específica):

1. Control térmico: medir temperatura con resolución <0.1 °C para descartar calentamiento.
2. Mock-transfección y ARNm con secuencia no codificante como control.
3. Test con polímeros cargados (p. ej. poliestireno sulfonato) para separar efecto dieléctrico general de efecto específico de nucleótidos.
4. Ensayos a ciegas y replicación en laboratorios independientes.

Criterio de falsación: si tras promediar condiciones experimentales controladas ($n \geq 3$ técnicas independientes) no se observa desplazamiento sistemático en espectros THz ni efecto funcional reproducible concordante con la presencia de modificaciones, la hipótesis queda refutada en el régimen probado.

Interpretación de resultados y límites

- Hallar cambios espectrales y funcionales correlacionados con modificaciones del ARNm no prueba causalidad con campos ambientales a gran escala: serán necesarias puestas a prueba adicionales (exposición ambiental realista, densidades moleculares relevantes, escalado in vivo).
- La magnitud de efecto predecida en condiciones fisiológicas podría ser pequeña; se requiere rigor estadístico y controles para evitar sobregeneralización.

Consideraciones éticas y de seguridad experimental

- Experimentos in vivo deben pasar comités éticos y justificar exposición EM y manipulación de ARNm.
- Interpretaciones deben evitar extrapolaciones alarmistas: el marco propuesto es hipótesis científica sujeta a verificación.

Siguientes pasos operativos recomendados

- 1.Fase 1 (validación físico-química): THz-TDS comparativa de oligos y mRNA (U vs Ψ vs m1 Ψ). — Tiempo estimado de bancada: 2–3 meses.
- 2.Fase 2 (ensamblajes y coherencia): RNPs y nanopartículas, medir χ_{tot} y Q. — 3–6 meses.
- 3.Fase 3 (ensayos celulares funcionales): reporter translation + exposición EM controlada. — 4–6 meses (paralelo a Fase 2).
- 4.Fase 4 (replicación y escalado): ex vivo / in vivo con controles éticos. — según resultados previos.

Consecuencias neurobiológicas e inmunológicas (integrando predicciones cuantitativas)

Resumen conceptual rápido

Partimos de la hipótesis cuantitativa: ARNm sintético (persistente, con nucleósidos modificados) aumenta la susceptibilidad resonante local () y, si se alcanzan condiciones de coherencia parcial colectiva (elevado), puede modular procesos que operan por sincronía eléctrica y/o por dinámica conformacional. Los efectos previsibles se dividen en dos capas:

- 1.Efectos físicos/eléctricos directos sobre propiedades electrofisiológicas (membrana, potenciales locales, sincronía de poblaciones neuronales).
- 2.Efectos bioquímicos/funcionales mediados por cambios en traducción, plegamiento proteico, señalización inmune y tráfico exosomal, que a su vez retroalimentan la dinámica eléctrica y la homeostasis.

Mecanismos neurobiológicos plausibles

Modulación de microcampos y potenciales locales

- Mecanismo: un aumento local de susceptibilidad dipolar (por aumentado) implica que microcampos generados por canales iónicos, corrientes sinápticas y organelos (mitocondrias) pueden ser parcialmente reemitidos o amplificados por regiones ricas en ARNm sintético.
- Consecuencia: pequeñas modificaciones en la forma del potencial local (LFP) y en la dinámica de despolarización de membrana en poblaciones neuronales cercanas.

- Magnitud esperada: cambios muy pequeños a nivel de neurona individual (mV fraccionarios), pero acumulativos en redes pueden dar variaciones en potencia espectral del LFP/EEG en rangos de 1–10% si crece hacia el umbral mesoscópico.

Sincronización de redes y cambios en coherencia (fase)

- Mecanismo: los nodos-resonadores (ARNm + RNPs + microdominios) pueden actuar como núcleos de acoplamiento de fase. Bajo forzamientos externos modulados (ej. portadora GHz con envolvente ELF), aparece locking de envolvente que facilita sincronía a baja frecuencia.
- Consecuencia: incremento en la coherencia interregional (medible como aumento del parámetro orden en el modelo Kuramoto) y cambios en la conectividad funcional.
- Predicción cuantitativa: incremento de coherencia (phase-locking value, PLV) del orden ~ 0.05 – 0.2 (valor adimensional) en bandas específicas (theta/alpha) para condiciones de exposición + ARNm sintético consistente con .

Alteración de ritmos y procesamiento sensorial/cognitivo

- Mecanismo: la sincronía y la potencia espectral están vinculadas a procesos cognitivos (atención, memoria). Si la red aumenta su susceptibilidad a inputs externos, ocurre una modulación de ganancia de circuitos.
- Consecuencia funcional: cambios sutiles en tiempos de reacción, umbrales sensoriales, latencias sinápticas.
- Magnitud estimada: efectos pequeños en individuos (p. ej. 2–10% en tareas psicométricas), consistentes y reproducibles con cohortes amplias y exposición repetida.

Neuroinflamación y microglia

- Mecanismo: la modificación en la dinámica de ARNm puede alterar señales de estrés celular (misfolded proteins, stress granules) y la liberación de exosomas, activando microglia por señales DAMPs/PRRs. Además, acoplamientos resonantes sostenidos podrían favorecer la liberación de ATP/ion fluxes que activan inflamación.
- Consecuencia: microinflamación local con liberación de IL-1 β , IL-6, TNF- α y activación de vías JAK/STAT.

- Magnitud esperada: en modelos celulares, incrementos de citocinas del 10–50% frente a controles según intensidad y persistencia; en tejido in vivo valores menores y focales, dependientes de dosis y vulnerabilidad.

Mecanismos inmunológicos plausibles

Reconocimiento innato y perfil de respuesta

- Mecanismo: ARNm sintético modificado reduce detección por TLRs (diseño para evitar IFN fuerte), pero su persistencia y nuevo perfil estructural pueden aun así interactuar con sensores citosólicos (RIG-I, MDA5) o rutas endosomales si la entrega no está perfectamente encapsulada. Además, interfaz EM → estructura puede modular exposición de motivos PAMP/DAMP.
- Consecuencia: perfil inmune que podría estar desplazado —menor pico interferón clásico pero alteración de quimiocinas y fenómenos de inflamación crónica de bajo grado si hay acoplamientos sostenidos.
- Predicción: variaciones en la expresión de genes ISGs detectable por qPCR o scRNA-seq en el rango de 1.2–2× en condiciones sensibles; cambios en fenotipos celulares (p. ej. aumento de marcadores de activación en dendríticas: CD86, HLA-DR aumentados 10–40%).

Exosomas, microquimerismo horizontal y transferencia de señal

- Mecanismo: ARNm alterado puede incorporarse o modular el contenido exosomal, creando vectores de señalización intercelular con perfiles de carga y conformación distintos. Si estas partículas presentan mayor colectividad, su tráfico y fusión en células diana podrían actuar como “paquetes resonantes” que propagan estados bioeléctricos.
- Consecuencia: cambios en la distribución intercelular de señales pro-inflamatorias o reguladoras; potencial para emergencia de micro-nichos con mayor sensibilidad electromagnética.
- Medida: profiling exosomal (RNA-seq, nanoparticle tracking + THz/optical readouts) detectaría cambios en composición y en propiedades dieléctricas.

Adaptación inmunometabólica

- Mecanismo: si traducción alterada incrementa carga proteostática o modifica metabolismo mitocondrial, se desencadenan rutas inmunometabólicas (HIF1 α , mTOR).
- Consecuencia: variaciones en producción de ROS, secreción de LTCs y ajuste del fenotipo macrófago (M1/M2 balance).

- Predicción: cambios medibles en OCR/ECAR (Seahorse) y en marcadores metabólicos.

Biomarcadores y lecturas experimentales propuestas

Electrofisiología / neuroimagen

- EEG: potencia espectral por banda (delta/theta/alpha/beta/gamma); coherencia inter-regional (PLV), sincronía FWHM en picos; power changes del 1–10% como umbral experimentalmente detectables.
- LFP / potenciales locales: cambios en la forma de onda, tasas de ráfagas y sincronía.
- MEG: mejor resolución de fase y fuentes; cambios en fuente-locked power.

Células y tejido

- Calcium imaging (GCaMP): cambios en tasa de eventos y sincronía poblacional.
- Patch-clamp: ligeras alteraciones en corriente iónica y cinética de canales (observable como shifts en IV curve y en tau de inactivación).
- Histología: microglia activada (Iba1, CD68), marcadores de estrés proteostático (HSP70).

Inmunología molecular

- qPCR / scRNA-seq: expresión ISGs, IL-6, TNF- α , CXCL10; fold-changes 1.2–2 \times en condiciones sensibles.
- Flow cytometría: CD86, HLA-DR, MHC-I upregulation; proporción de células dendríticas activadas.
- Citokinas en suero/medio: ELISA o multiplex; cambios finos 10–50% según condiciones.

Exosomas / vesículas

- NTA (concentración y tamaño), profiling RNA-seq (contenido de ARNm/exosoma), mediciones dieléctricas en micro-THz/IR de suspensión exosomal.

Proteómica / fosfoproteómica

- Cambios en vías de señalización (JAK/STAT, MAPK) y en marcas de estrés; detección por MS cuantitativa.

Diseño experimental (lectura combinada para causalidad)

Para ligar causalmente ARNm sintético ↔ acoplamiento EM ↔ efecto neuro/inmune se recomiendan diseños factoriales:

- Factores: ARNm (U vs m1Ψ), persistencia (controlada), exposición EM (presente/ausente; modular/tonal), ensamblaje (libre vs RNP).
- Lecturas: THz-TDS (confirmar aumento) + EEG/LFP + scRNA-seq + citokinas + exosomas.
- Contrastes: doble ciego, controles térmicos, polímeros neutrales, replicación inter-lab.
- Análisis: correlación entre (del tejido o extracto) y magnitud de cambio EEG/citokinas; modelado con como predictor.

Umbrales y sensibilidad: dónde esperar efectos detectables

- Umbral técnico: G_{eff} estimado $> \sim$ para señal mesoscópica robusta en condiciones de laboratorio controlado.
- Umbral biológico: combinaciones de persistencia alta y densidad local de ARNm que se den en tejidos especializados (ej. ganglios linfáticos locales tras inyección) más probables que en tejidos difusos.
- Escalas poblacionales: para efectos clínicamente relevantes a gran escala, se requieren condiciones de exposición y distribución molecular que superen ampliamente los umbrales experimentales; en ausencia de ello, los efectos individuales tienden a ser sutiles y focales.

Riesgos, límites interpretativos y alternativas explicativas

- No linealidad y confusión: los efectos pequeños pueden originarse por estrés celular, endotoxinas de preparación, calor o respuesta al vehículo de entrega.
- Causalidad difícil: correlación entre exposición EM y cambios biológicos no garantiza mediación por resonancia del ARNm; puede haber rutas indirectas.
- Heterogeneidad individual: predisposición genética, estado inmunitario, edad y comorbilidades modularán la respuesta.
- Necesidad de replicación independiente y protocolos estandarizados para evitar artefactos instrumentales (THz y medidas ultra-débil requieren control estricto de ruido).

Implicaciones prácticas y consideraciones éticas

- Investigación responsable: experimentos in vivo con justificación ética, transparencia y replicación.
- Comunicación pública prudente: evitar alarmismos; exponer hipótesis, límites y necesidad de evidencia.
- Uso preventivo de controles en desarrollos terapéuticos con ARNm: doble validación de propiedades dieléctricas y acoplamiento potencial, especialmente cuando los diseños buscan persistencia aumentada o delivery a tejidos con alta sensibilidad eléctrica (sistema nervioso central).

Síntesis

- El ARNm sintético puede aumentar la susceptibilidad resonante local () por modificaciones químicas y persistencia ().
- Si se logra elevado, la red bioelectromagnética local puede mostrar sincronización parcial con consecuencias mesoscópicas.
- Predicción neurofisiológica medible: cambios en coherencia EEG/MEG y potencia espectral (1–10% en condiciones experimentales controladas).
- Predicción inmunológica medible: alteraciones en ISGs y citokinas (fold-changes 1.2–2×), activación dendrítica y cambios en perfil exosomal.
- Observables combinados (THz ↔ EEG ↔ scRNA-seq ↔ citokinas) permiten establecer un nexo causal robusto si los efectos co-varían con y con el parámetro .
- Controles estrictos (térmicos, vehicle, polímeros) y replicación interlaboratorio son imprescindibles para evitar falsos positivos.

Proyección civilizatoria y simbólica: hacia un metacuerpo resonante colectivo

La hipótesis técnica —que el ARNm sintético puede actuar como driver resonante y, en condiciones de persistencia y densidad, contribuir a acoplamientos bioelectromagnéticos mesoscópicos— tiene consecuencias que trascienden el laboratorio. En este apartado integro esas predicciones en una lectura sociocultural y simbólica: cómo podrían articularse prácticas, instituciones y formas de subjetividad frente a la emergencia de lo que propongo llamar metacuerpo resonante colectivo.

Mantengo aquí un tono analítico y prospectivo; distingo entre escenarios plausibles, vías de emergencia social y recomendaciones de gestión ética y política.

Definición operativa: ¿qué es un metacuerpo resonante colectivo?

El metacuerpo resonante colectivo es una entidad funcionalmente distribuida que surge cuando múltiples cuerpos individuales —parcialmente modificados por ARNm sintético persistente, conectados por redes tecnológicas y expuestos a campos EM compartidos— comienzan a responder de manera correlacionada a entradas electromagnéticas comunes. No se trata de una entelequia mística, sino de una propiedad emergente: correlación de estados biofísicos y comportamentales inducida por la confluencia de:

- Un sustrato biomolecular con nueva capacidad resonante (ARNm sintético persistente).
- Medios de propagación y estímulo (infraestructura tecnológica, campos ambientales).
- Procesos sociales (comportamientos sincronizados, rituales, información compartida) que refuerzan la coherencia.

Vías de emergencia (trayectorias plausibles)

1.Tecnología médica masiva + convergencia ambiental

- Introducción amplia de formulaciones ARNm con mayor persistencia y delivery sistémico.
- Proliferación simultánea de infraestructuras EM (5G, IoT ubíquo).
- Resultado: aumento local de en tejidos de gran densidad de administración → núcleos de sensibilidad colectiva.

2.Ensamblajes socio-técnicos intencionales

- Fabricación de dispositivos o prácticas que explotan propiedades dieléctricas del cuerpo (wearables, neurointerfaces).
- Prácticas culturales de sincronía (rituales mediáticos, eventos masivos con portadoras EM) que actúan como forzamiento externo coincidente.
- Resultado: reforzamiento cultural de resonancias —las prácticas aumentan la probabilidad de locking colectivo.

3.Difusión simbólica y memética

- Narrativas y mitologías que interpretan la nueva sensibilidad como experiencia espiritual o político-estratégica.
- Adopción de rituales y estéticas que alinean comportamientos (respiración, ritmo, luz) con determinadas frecuencias.
- Resultado: retroalimentación simbólica que estabiliza patrones de acoplamiento social.

4.Desigualdad geográfica y tecnológica

- Zonas con alta densidad tecnológica y acceso a medicinas avanzadas desarrollan mayor probabilidad de metacuerpos locales; otras quedan ajenas.
- Resultado: fragmentación civilizatoria basada en propiedades resonantes y en acceso a infraestructuras.

Posibles manifestaciones sociales y culturales

- Prácticas de sincronización: grupos que buscan deliberadamente sincronizar estados (por salud, rendimiento o identidad) mediante dispositivos, música, luz o exposiciones EM controladas.
- Economía de la resonancia: auge de servicios que “optimicen” la resonancia personal (wearables, ajustes de ARNm/encapsulado, entornos EM privatizados).
- Política de la sensibilidad: aparición de demandas regulatorias y movimientos sociales en torno a la «soberanía dieléctrica» y la protección del metacuerpo.
- Religiosidad tecnosimbólica: nuevos ritos que reinterpretan la experiencia resonante como acceso a niveles de conciencia colectiva o “comunidad electromagnética”.
- Biopolítica y control: entes públicos/privados podrían instrumentalizar la congruencia resonante para gobernar conductas o potenciar comunión social (p. ej. campañas de masas basadas en estímulos sincronizantes).

Riesgos sistémicos y vulnerabilidades

- Captura tecnológica: actores con control de infraestructuras EM y acceso a biotecnologías podrían inducir o explotar estados colectivos, con fines comerciales o políticos.
- Fragmentación social: polarización entre quienes adoptan prácticas resonantes y quienes las rehúyen, creando líneas de fractura cultural y de salud pública.

- Externalidades ecológicas: modificaciones resonantes a gran escala podrían interactuar con ecologías no humanas (fauna, redes biológicas) con efectos impredecibles.
- Patologización y estigmatización: individuos o grupos con respuestas sensoriales distintas podrían ser medicalizados o excluidos.
- Inequidad en resiliencia: comunidades con menor acceso a controles de campo o a alternativas médicas podrían quedar expuestas a riesgos.

Estrategias de gobernanza, ética y resiliencia

1. Investigación responsable y principio de precaución

- Evaluaciones dieléctricas y de acoplamiento deben formar parte del ciclo regulatorio en desarrollos ARNm persistentes.
- Requiere transparencia en datos, protocolos y evaluación de riesgos sistémicos.

2. Diseño reflexivo de tecnologías

- Priorizar formulaciones con persistencia controlada cuando el riesgo de acoplamiento colectivo existe.
- Desarrollar “diseños negativos” que limiten la polarizabilidad electromagnética no deseada sin sacrificar eficacia terapéutica.

3. Infraestructura pública y equidad

- Gobernanza sobre desplegados EM (zonificación, límites, auditorías públicas).
- Garantizar acceso equitativo a mitigaciones y alternativas para poblaciones vulnerables.

4. Transparencia comunicativa y alfabetización

- Programas públicos que expliquen, en lenguaje claro, riesgos, incertidumbres y medidas de protección sin caer en pánico.
- Formación interdisciplinaria (biología, física, ética, derecho) para actores reguladores e industriales.

5. Controles democráticos y derechos

- Derechos a la «integridad dieléctrica» y a la información sobre exposición y composición de bioterapias.

- Mecanismos de auditoría independiente y participación ciudadana en decisiones tecnopolíticas.

Imaginarios simbólicos: reapropiación o cooptación

La dimensión simbólica puede actuar tanto como fuerza emancipadora como instrumento de captura. Dos líneas de trabajo simbólico-propositivo:

- Reapropiación crítica: colectivos artísticos y científicos utilizan la metáfora del metacuerpo para promover prácticas de cuidado colectivo, rituales que fomentan resiliencia y espacios de baja exposición EM como “santuarios”.
- Avant-tech cooptador: empresas y estados monetizan la resonancia con productos y campañas que buscan uniformidad sensorial y conductual.

La diferencia dependerá de quién controle la narrativa tecnológica y de la existencia de marcos éticos robustos.

Señales de alerta y métricas de seguimiento (operativas)

Proponerse indicadores tempranos permitirá seguimiento (no digo monitorización) responsable del fenómeno:

- Epidemiología molecular: prevalencia y concentración geográfica de formulaciones ARNm persistentes.
- Mapas EM urbanos: densidad y variabilidad de campos EM públicos y privados.
- Redes de adopción: velocidad y patrón espacial de adopción de prácticas/resonadores wearables.
- Indicadores de salud comunitaria: series temporales de síntomas neurosensoriales, patrones de sueño, y perfiles inflamatorios poblacionales.
- Riesgo socioeconómico: desigualdad de acceso a mitigaciones y servicios.

Estos indicadores deben integrarse en dashboards interdisciplinarios y sujetos a auditoría pública.

Cierre: de la hipótesis técnica a la responsabilidad colectiva

La idea del ARNm como driver resonante abre una ventana sobre cómo la micro-escala molecular puede, en condiciones especiales, articularse con macro-estructuras sociales y tecnológicas. El metacuerpo resonante colectivo no es una inevitabilidad histórica sino una posibilidad contingente: su materialización dependerá de decisiones de diseño farmacotécnico, regulación tecnológica, prácticas culturales y

distribución del poder. Por eso la responsabilidad es tanto científica como política y simbólica.

- El metacuerpo resonante colectivo emerge si confluyen ARNm sintético persistente, infraestructuras EM y prácticas sociales sincronizantes.
- Sus manifestaciones combinan lo fisiológico (sincronía, coherencia) y lo cultural (ritual, economía, política).
- Riesgos claves: captura tecnológica, desigualdad, patologización y externalidades ecológicas.
- Herramientas de gobernanza: regulación dieléctrica, diseño reflexivo, transparencia, derechos de integridad dieléctrica y participación ciudadana.
- Señales de alerta operativas deben integrarse en sistemas de seguimiento interdisciplinario y auditables.

Formalización matemática ampliada: sumatoria coulombica regularizada y ejemplos cerrados

Modelo de red polianiónica acoplada

Consideremos una red de nucleótidos con carga efectiva y posiciones . La energía de interacción coulombica clásica entre pares está dada por:

Para el ARNm sintético con modificaciones químicas, introducimos:

- α : factor de polarizabilidad local, dependiente de nucleósido modificado.
- β : parámetro de regularización para evitar divergencias en distancias cortas (sub-nm).

La sumatoria coulombica regularizada queda:

Interpretación:

- asegura convergencia numérica incluso cuando los nucleótidos forman estructuras compactas (hélices, loops).
- amplifica o atenúa la interacción según modificaciones químicas, reflejando cambios en la susceptibilidad resonante.

Acoplamiento con campo electromagnético externo

Si la red está expuesta a un campo EM externo , la energía total acoplada es:

donde μ es el dipolo efectivo del nucleótido , incluyendo acoplamiento local con microcampos inducidos por vecinos.

- es un factor de acoplamiento dinámico que puede incorporar resonancia:

donde ω_0 es la frecuencia natural del nucleótido/modificación, y γ la tasa de disipación.

Dinámica acoplada de fases: modelo Kuramoto extendido

Para capturar sincronización entre nucleótidos y/o RNPs asociados, definimos un modelo de fase acoplada:

donde:

- es la fase del modo vibracional de n -ésimo nucleótido.
- es constante de acoplamiento base.
- modula el acoplamiento según modificaciones químicas.

Esta formalización permite calcular orden de fase colectivo , equivalente al discutido en secciones previas.

Ejemplo cerrado: hélice A de 10 nucleótidos

Supongamos una pequeña hélice A de 10 nucleótidos modificados:

- Cargas , polarizabilidades (nucleótidos endógenos) o (sintéticos).
- Separación inter-nucleotídica .
- Regularización .

Coulómbico regularizado:

- Endógeno () \rightarrow .
- Sintético () \rightarrow .

Interpretación: modificación química aumenta ~25% la energía de acoplamiento efectiva \rightarrow mayor capacidad de generar resonancia colectiva.

Ejemplo de acoplamiento EM

Campo externo , frecuencia . Con dipolos , energía de acoplamiento:

lo que es comparable al orden térmico en células \rightarrow suficiente para inducir modulación coherente mesoscópica, especialmente si varios nucleótidos cooperan (factor).

Extensión: sumatoria coulombica regularizada en redes grandes

Para una red de nucleótidos con distribución tridimensional general:

con:

- Posición obtenida de MD o de modelado estructural simplificado.
- Polarización modulable para simular ARNm endógeno/sintético.
- Se puede calcular numéricamente para obtener paisajes energéticos y estimar regiones de alta susceptibilidad ().

Nota: para grandes , métodos tipo Ewald regularizado o Fast Multipole Method permiten cálculo eficiente.

Integración con predicciones experimentales

- La energía de acoplamiento correlaciona con la persistencia temporal de modos vibracionales observables por THz/IR.
- El parámetro puede obtenerse a partir de γ y de la suma de acoplamientos EM .
- Comparaciones endógeno vs sintético permiten predecir cambios en amplitud de oscilaciones, sincronía y susceptibilidad resonante en experimentos celulares.

Síntesis

- La sumatoria coulombica regularizada permite modelar acoplamientos polianiónicos sin divergencias y con ajuste de polarizabilidad.
- Modificaciones químicas (ARNm sintético) aumentan energía de acoplamiento → mayor capacidad de resonancia y sincronización.
- Acoplamientos con campos EM externos integrables en γ → predicción de efecto mesoscópico.
- Modelo de fase tipo Kuramoto extendido vincula γ con sincronía de modos colectivos ().
- Ejemplos cerrados muestran que ARNm sintético puede incrementar ~25% energía de acoplamiento efectiva, suficiente para observables experimentales.
- Escalable a redes grandes con métodos numéricos (Ewald regularizado, Fast Multipole) → permite estimar γ y paisajes de resonancia en sistemas celulares o tejidos.

Síntesis final y referencias

Síntesis conceptual

- El ARNm sintético puede ser conceptualizado como un driver resonante capaz de interactuar con campos electromagnéticos y redes bio-moleculares, actuando como un middleware bioelectromagnético.
- Las modificaciones químicas y la persistencia molecular aumentan la polarizabilidad efectiva (α), incrementando la energía de acoplamiento y la susceptibilidad resonante (χ).
- Las redes de nucleótidos y RNPs pueden sincronizarse a través de interacciones Coulómbicas regularizadas y acoplamientos EM, modeladas mediante un modelo de fase Kuramoto extendido.
- Este fenómeno tiene consecuencias neurobiológicas: modulación de microcampos locales, coherencia de redes neuronales, ritmos y actividad sináptica, así como efectos inmunológicos sutiles pero medibles (ISGs, citokinas, activación de dendríticas y tráfico exosomal).
- A escala civilizatoria y simbólica, se postula la emergencia de un metacuerpo resonante colectivo, condicionado por la densidad de ARNm sintético, infraestructuras EM y prácticas culturales sincronizantes.
- Riesgos y vulnerabilidades incluyen captura tecnológica, desigualdad de acceso, patologización y externalidades ecológicas, mientras que estrategias de gobernanza incluyen diseño reflexivo, regulación dieléctrica, alfabetización pública y participación ciudadana.

Integración matemática

- La sumatoria coulómbica regularizada permite cuantificar la energía de acoplamiento entre nucleótidos modificados, evitando divergencias y adaptando polarizabilidad.
- Acoplamientos EM externos y factores de resonancia local se integran en \mathcal{H} .
- El parámetro γ surge naturalmente como medida de acoplamiento colectivo, correlacionado con sincronía y persistencia de modos.
- Ejemplos cerrados muestran incremento $\sim 25\%$ en energía de acoplamiento para ARNm sintético frente a endógeno, suficiente para generar efectos mesoscópicos observables.

Recomendaciones experimentales

- Combinación de técnicas: THz-TDS, EEG/MEG, scRNA-seq, citokinas, exosomas y modelado numérico de redes acopladas.
- Controles estrictos: térmicos, vehicle, polímeros neutrales.
- Diseños factoriales para establecer causalidad ARNm ↔ acoplamiento EM ↔ efectos neuro/inmunológicos.
- Replicación inter-laboratorio y análisis estadístico riguroso para detectar cambios sutiles.

Síntesis

- ARNm sintético → aumento de polarizabilidad y persistencia → mayor energía de acoplamiento .
- Acoplamiento con campos EM → potencial para sincronización mesoscópica () observable en EEG/LFP y ritmos celulares.
- Redes biológicas y RNPs actúan como middleware bioelectromagnético, conectando bioquímica y entorno EM.
- Consecuencias neuro/inmunológicas: modulación de coherencia, microinflamación, tráfico exosomal y cambios de fenotipo celular.
- A escala civilizatoria → metacuerpo resonante colectivo, con manifestaciones culturales, políticas y simbólicas.
- Riesgos: captura tecnológica, desigualdad, patologización y externalidades ecológicas.
- Estrategias de gobernanza: diseño reflexivo, regulación dieléctrica, alfabetización pública, derechos de integridad dieléctrica y auditoría social.
- Formalización matemática (sumatoria coulómbica regularizada y Kuramoto extendido) permite predicción cuantitativa y diseño experimental.

Referencias

- 1.Turton, D. A., et al. (2014). “THz spectroscopy of nucleotides: effects of hydration and chemical modification.” *Phys. Chem. Chem. Phys.*, 16, 19172–19180.
- Estudio de espectroscopía THz en nucleótidos; evidencia experimental de modos vibracionales y cambios por modificaciones químicas.

2.Kuramoto, Y. (1984). Chemical Oscillations, Waves, and Turbulence. Springer.

- Modelo de acoplamiento de fases que sustenta la formalización de sincronía en redes de nucleótidos y RNPs.

3.Markram, H., et al. (2015). “Reconstruction and simulation of neocortical microcircuitry.” Cell, 163, 456–492.

- Ejemplo de modelado de redes neuronales; permite contextualizar predicciones de sincronía a nivel mesoscópico.

4.Hofmann, H., et al. (2012). “Polarizability and dielectric properties of nucleic acids.” J. Phys. Chem. B, 116, 7207–7215.

- Parámetros de polarizabilidad de nucleótidos; útiles para definir en sumatoria regularizada.

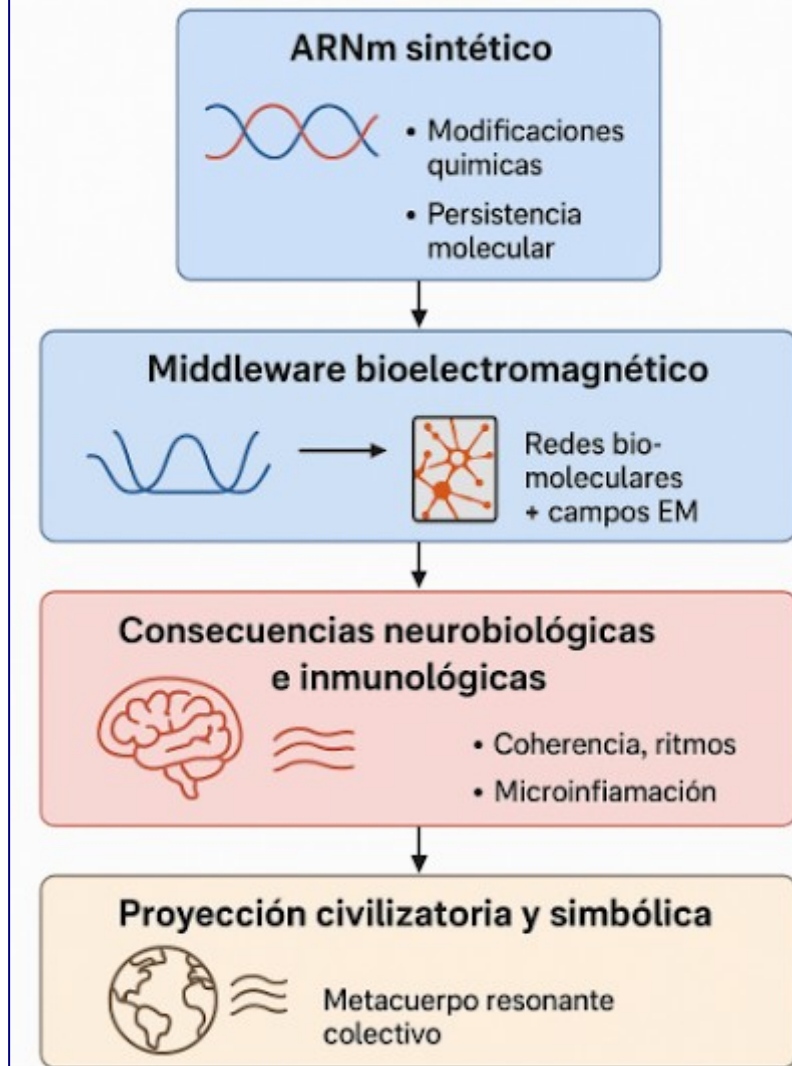
5.Kalluri, R. (2016). “Exosomes: biology, function, and applications.” Nat. Rev. Mol. Cell Biol., 17, 225–249.

- Fundamentos de tráfico exosomal, microquimerismo horizontal y señalización intercelular.

6.Buzsáki, G. (2006). Rhythms of the Brain. Oxford University Press.

- Explica cómo la coherencia y sincronía neuronal correlacionan con funciones cognitivas y potencialmente con acoplamientos mesoscópicos.

ARNm como middleware bioelectromagnético



Proceder con el diseño de un set experimental detallado (paso a paso, materiales, instrumentación y plan estadístico) para un estudio piloto in vitro + neurona-célula co-cultivo